

Б. М. МЕЛИКСЕТЯН

## МИНЕРАЛОГО-ГЕОХИМИЧЕСКИЕ ОСОБЕННОСТИ ЩЕЛОЧНЫХ ПОРОД МЕГРИНСКОГО ПЛУТОНА

В настоящее время щелочные породы рассматриваются не только как сырье на глинозем, но и как источник многих редких элементов, таких, как цирконий, ниобий, титан, редкие земли, галлий и др.

Несмотря на сравнительно детальную изученность щелочных пород Мегринского района, некоторые вопросы их минералогии и геохимии все еще остаются не освещенными. Результаты минералого-геохимических исследований щелочных фаций сложного Мегринского plutона изложены в настоящей статье.

### Геологическое положение щелочных пород

В геологическом отношении щелочные породы описываемого района локализованы в пределах ранней фазы Мегринского plutона верхненеоцен-олигоценового возраста [9]. Согласно новейшим представлениям [8, 9], формирование plutона происходило в три главные фазы.

I. Породы «монцонитового ряда» (кварцевые и бескварцевые монцониты, сиенито-диориты и др.), с которыми петрогенетически связаны породы основного и щелочного составов.

II. Граносиениты, гранодиориты, а также банатиты и диориты.

III. Порфировидные граниты, гранодиориты и граносиениты.

В соответствии с фазами внедрения интрузии выделяются фазы и этапы внедрения жильных пород [9].

Щелочные породы локализованы вдоль восточного и юго-восточного контакта гибридной монцонитовой интрузии в тесной ассоциации с монцонитами и сиенито-диоритами и образуют несколько пространственно разобщенных друг от друга выходов.

1. Шванидзорский комплекс лейкократовых пегматоидных и средне-мелкозернистых щелочных сиенитов площадью 65 кв. км. Расположен в юго-восточной части plutона в бассейне рр. Шванидзор и Алдара и приурочен к антиклинальной структуре близширотного направления. Щелочные породы залегают среди сиенито-диоритов и монцонитов, с которыми связаны постепенными, иногда довольно сложными

взаимопереходами, контактируя на северо-западе с верхнедевонскими известняками и порфиритами. На юге в контакте с щелочными сиенитами породы сиенитизированы и пронизаны многочисленными тонкими инъекциями сиенитов, приобретающими здесь меланократовый облик. В северном экзоконтакте небольшой участок кровли подвергнут интенсивной амфиболизации и также пронизан альбитовыми прожилками. Несколько более мелких (площадью 1 кв. км) выходов аналогичных щелочных пород среди поля сиенито-диоритов встречаются на юго-восточных склонах горы Калакар. Породы этого комплекса детально изучены А. И. Адамяном [1].

2. Калерский выход мелко-среднезернистых щелочных сиенитов площадью 3—4 кв. км; отмечен впервые А. И. Адамяном [1] в верховьях р. Банк около с. Калер среди монцонитов и тонолитов вблизи от контакта со среднеэоценовыми порфиритами.

3. Пхрутский выход щелочных сиенитов и нефелиновых монцонитов с метасоматическими линзами и прожилками альбититов. Площадь выхода 10—12 кв. км. Здесь щелочные породы совершенно постепенно переходят в типичные монцониты. На северо-западе они контактируют с вулканогенно-осадочной толщей среднего эоценена, представленного порфиритами, туфами и туфобрекчиями. Указанный выход впервые установлен в 1954 г. Е. А. Исаханяном и А. С. Арутюняном.

Таким образом, общей закономерностью распространения щелочных пород в пределах монцонитовой интрузии является их локальная приуроченность к восточному и юго-восточному контакту интрузии с вулканогенно-осадочными породами среднего эоценена и нижнего палеозоя, представленными различными порфиритами, их туфами, доломитами и известняками, и обилие в них различной степени сиенитизированных ксенолитов.

### Петрографические типы щелочных пород

В строении описанных выше выходов щелочных пород принимают участие различные структурные и минералогические типы щелочных сиенитов, меньшим распространением пользуются нефелинсодержащие монцониты и эндоконтактовые меланократовые щелочные сиениты. Не вдаваясь в детальную характеристику уже описанных в литературе [1, 2] щелочных пород Шванидзорского массива, вкратце остановимся на описании главных типов щелочных пород.

**Щелочные пегматоидные лейкократовые сиениты.** Развиты эти породы в центральной части Шванидзорского комплекса и образуют три небольших изолированных выхода среди поля сиенито-диоритов. Площадь их распространения составляет 85% площади, занимаемой Шванидзорским комплексом. Они представлены серовато-белыми и серовато-розовыми крупнозернистыми (размер зерен 2—3 см) породами, с пятнистыми выделениями фемических минералов.

Структура породы гипидиоморфнозернистая, иногда пойкилитовая, а в альбитизированных участках паналлотриоморфнозернистая.

В минералогическом составе (табл. 1) участвуют: калишпат-перит, олигоклаз-андезин, обыкновенная и щелочная роговая обманка, эгирин-авгит, биотит и эпидот; из вторичных — альбит, либенерит, цеолиты, содалит и канкринит. Нефелин очень редок. Лишь в контакте с нефелиновыми пегматитами отмечается слабая нефелинизация.

**Щелочные средне-мелкозернистые сиениты.** Макроскопически это мезократовые серые, темно-серые породы мелко-среднезернистого сложения (от 0,5—0,8 до 3—8 мм). Развиты они по периферии пегматоидных щелочных сиенитов в виде реакционной каймы, с которыми связаны постепенными переходами. Также совершенно постепенно переходят в окружающие их сиенито-диориты [1]. Почти аналогичные породы развиты в Пхрутском и Калерском выходах.

Структура породы гипидиоморфнозернистая, переходящая местами в аллотриоморфнозернистую. В отличие от лейкократовых разностей наблюдается возрастание содержания и номера плауиклаза и темноцветных минералов (табл. 1). В некоторых разностях содержится нефелин.

**Нефелиновые монцониты.** Эти породы развиты в краевых частях Пхрутского выхода щелочных и нефелинсодержащих сиенитов, которые незаметно переходят в типичные монцониты.

Макроскопически эта разновидность характеризуется мезократовым обликом и сравнигельной крупнозернистостью (0,1—0,3 см).

Структура породы гипидиоморфнозернистая, местами типично монцонитовая, а в альбитизированных участках аллотриоморфнозернистая. Почти аналогичные породы встречаются в краевых частях Шванидзорского комплекса. Для них характерно высокое содержание темноцветных (табл. 1).

**Щелочные меланократовые сиениты.** Это гибридные породы, прослеживающиеся непрерывной полосой (ширина 200—250 м) вдоль южного контакта лейкократовых щелочных сиенитов с. Шванидзор с амфиболитовыми сланцами. Внешне представляют собой темно-серые среднезернистые, иногда «огнейковые» породы, содержащие до 40% темноцветных минералов. Структура породы аллотриоморфнозернистая, местами даже гранобластовая. По составу близки к тералитам.

**Альбититы.** Среди щелочных пород Пхрутского выхода отмечаются небольшие (0,3—1 м в поперечнике) линзообразные тела и прожилки метасоматических альбититов. Мелкие прожилки и гнезда альбититов отмечаются и в северном экзоконтакте щелочных сиенитов Шванидзорского комплекса среди амфиболизированных пород.

Это грубозернистые, пегматоидные породы белого цвета, состоящие сплошь из крупнокристаллических индивидов альбита с крупными кристаллами роговой обманки и чешуек биотита. Очень редко встречается нефелин с продуктами разложения. Вокруг линз альбититов отмечается отчетливая оторочка биотитизации.

В Шванидзорском комплексе типичные альбититы не встречаются,

однако отмечаются зоны интенсивной альбитизации, приуроченные к контактовым участкам.

**Пегматиты.** Для щелочных пород района характерна однотипная жильная серия, представленная двумя возрастными группами:

A. Ранние существенно калиевые, микроклиновые и микроклин-мусковитовые слабозональные пегматиты. Распространены они главным образом в периферических частях выходов щелочных пород. По содержанию мусковита, корунда, биотита, турмалина, радиоактивных и ниобиевых минералов и текстурно-структурным особенностям выделяются типы и виды пегматитов.

B. Поздние существенно натриевые полевошпатово-фельдшпатоидные отчетливо зональные, иногда полнодифференцированные, пегматиты. По соотношению калишпата, олигоклаза, нефелина, содалита, канкринита, меланита, турмалина, феррогастингсита и более редких минералов и текстурно-структурных особенностей выделяются минералогические типы, подтипы и виды пегматитов. Развиты эти пегматиты в основном во внутренних, реже приконтактовых частях выходов щелочных пород. Вопросы морфологии, минералогии и геохимии этих интересных образований в настоящем сообщении не рассматриваются.

### Минералогический состав щелочных пород

Минералогический состав щелочных пород довольно однообразный. В различных количественных соотношениях встречаются (табл. 1) калишпат, плагиоклаз, щелочная и обыкновенная роговая обманка, моноклинный пироксен и редко нефелин. Из второстепенных минералов присутствуют альбит, содалит, канкринит, эпидот, цеолиты, либенерит и кальцит.

**Калинатровый полевой шпат.** Является преобладающим минералом щелочных пород района. Калишпат-пертит образует ксеноморфные по отношению к плагиоклазу крупные зерна. Перитовые вrostки в калишпатае составляют 30—60%. Наиболее распространен волокнистый и пятнистый пертиты. Кроме того, отмечаются веретенообразный и шнуровидный микропертит. Несомненно, большая часть перитовых вростков имеет автометасоматическое происхождение, однако некоторая его часть образовалась в результате экссолюционного распада. Судя по многочисленным замерам оптической ориентировки и  $2V$ , калишпат относится к калиевому анортоклазу. Угол

$$\perp (001) : Nm = 9-11^\circ; -2V = 52-76^\circ.$$

**Плагиоклаз.** Представлен идиоморфными, иногда слабозональными кристаллами размером 1—25 мм. Разница в составе внутренних и внешних зон не превышает десяти номеров. Содержание и основность плагиоклаза при переходе от лейкократовых сиенитов к среднезернистым и меланократовым разностям увеличивается. Состав плагиоклаза в щелочных породах разнообразный. Наряду с плагиоклазом № 32—37 присутствует олигоклаз № 26—28, альбит-олигоклаз и альбит № 0—15. Последний составляет иногда 10—15% породы.

Пироксен моноклинный. Отличается заметно изменчивым составом. В нефелиновых монцонитах он представлен ферросалитом с примесью эгириновой молекулы, особенно по краям зерен (с : Ng = 42—46°; 2V = +58—63°, N<sub>g</sub>' = 1,732, N<sub>p</sub>' = 1,708). В шванидзорских сиенитах наряду с салитом (2V = +58°, с : Ng = 44°, N<sub>g</sub>' = 1,725, N<sub>p</sub>' = 1,700) присутствуют зоны бледно-зеленого эгирина-авгита с 12—15% эгириновой молекулы (—2V = 68°, с : Ng = 55°, N<sub>g</sub>' = 1,731, N<sub>p</sub>' = 1,703) и даже эгирина (—2V = 78°, с : Ng = 59°, N<sub>g</sub>' = 1,746, N<sub>p</sub>' = 1,722). В виде мелких овальных зерен метасоматического происхождения присутствует зеленый эгирин-авгит с 20% эгириновой молекулы (—2V = 70°, с : Ng = 57°, N<sub>g</sub>' = 1,736, N<sub>p</sub>' = 1,708).

Таким образом, в моноклинных пироксенах щелочных пород четко проявлен метасоматический процесс эгиринизации.

Таблица I

Средний количественно-минералогический состав щелочных пород  
(в объемных %)\*

Разновидности щелочных пород	Калишпат-перит	Плагиоклаз		Альбит	Биотит	Роговая обманка	Моноклинный пироксен	Нефелин	Вторичные Аксессорные
		%	№						
Лейкократовый щелочный сиенит с. Шванидзор . . . . .	54,7	21,6	26—32	10,9	0,3	7,8	1,2	0,5	2,2 1,8
Средне-мелкозернистый щелочной сиенит с. Шванидзор . . . . .	50,6	23,2	33—37	5,9	1,6	10,8	1,4	0,8	3,4 2,3
Среднезернистый щелочный сиенит с. Пхрут . . . . .	42,2	26,3	26—28	13,6	6,2	4,4	3,2	—	2,8 1,3
Нефелиновый монцонит с. Пхрут . . . . .	32,4	30,6	32—33	10,0	5,8	5,2	10,4	1,2	2,6 1,8
Меланократовый щелочный сиенит с. Шванидзор . . . . .	30,9	29,4	37—40	1,8	7,2	10,6	13,7	2,2	0,8 3,4
Альбитит с. Пхрут . . . . .	11,2	10,3	10—12	68,4	4,2	2,6	1,2	0,6	0,8 0,7

Роговая обманка. Является наиболее распространенным цветным минералом. Состав роговой обманки, так же как и пироксена, непостоянен. В пхрутских и калерских породах роговая обманка сильно железистая, содержит 75% железистого компонента (—2V = 62°, с : Ng = 17°, N<sub>g</sub>' = 1,708, N<sub>p</sub>' = 1,688). В шванидзорских щелочных сиенитах очень редко отмечаются мелкие самостоятельные зерна синевы зеленого феррогастингита (—2V = 53°, с : Ng = 12°, N<sub>g</sub>' = 1,714, N<sub>p</sub>' = 1,698). Крупные зерна зональны: ядро — железистая (70% железистого компонента), буроватая роговая обманка (—2V = 68°, с : Ng =

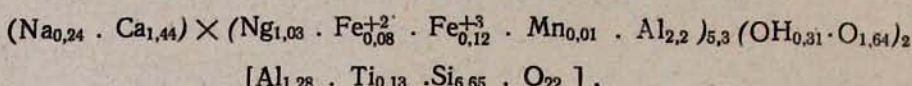
\* По данным А. И. Адамяна [1] и автора.

$-15^\circ$ ,  $N_g = 1,694$ ,  $N_p = 1,672$ ); край — феррогастингсит ( $-2V = 58^\circ$ , с:Ng =  $-13^\circ$ ,  $N_g = 1,710$ ,  $N_p = 1,693$ ). Для феррогастингсита характерна следующая ориентировка:  $\perp(110)$ : Ng =  $62^\circ$ ,  $\perp(110)$ : Nm =  $86^\circ$ ,  $\perp(110)$ : Np =  $-29^\circ$ . Роговая обманка обычно замещает моноклинный пироксен.

Химический состав (аналитик Г. Петросян) полущелочной роговой обманки следующий (в весовых %):

SiO <sub>2</sub>	TiO <sub>2</sub>	Al <sub>2</sub> O <sub>3</sub>	Fe <sub>2</sub> O <sub>3</sub>	FeO	MnO	MgO	CaO	K <sub>2</sub> O	Na <sub>2</sub> O	+N <sub>2</sub> O	-N <sub>2</sub> O	Сумма
46,0	1,09	20,5	7,58	5,67	0,85	7,56	9,31	—	0,87	0,36	0,07	99,86

Кристаллохимическая формула:



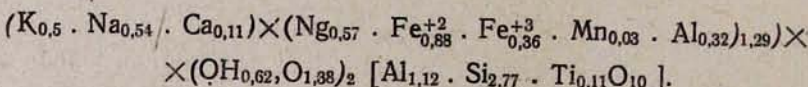
Характерной особенностью роговой обманки из щелочных сиенитов является ее высокая глиноземистость и железистость (65%), а также высокое содержание CaO и MgO.

**Биотит.** Встречается в подчиненном количестве. Развивается обычно в виде реакционной каемки вокруг зерен роговой обманки, пироксена и включенных в плагиоклаз зерен магнетита. Кроме того, встречается метасоматический биотит, развивающийся по микротрещинам и вокруг альбититовых линз.

Светопреломление Nm = 1,662—1,669, что соответствует биотиту с 65—78% железистого компонента [10]. Химический состав биотита (аналитик Г. Джербашян) из щелочных сиенитов следующий (в весовых %):

SiO <sub>2</sub>	TiO <sub>2</sub>	Al <sub>2</sub> O <sub>3</sub>	Fe <sub>2</sub> O <sub>3</sub>	FeO	MnO	MgO	CaO	K <sub>2</sub> O	Na <sub>2</sub> O	+H <sub>2</sub> O	-H <sub>2</sub> O	Сумма
35,60	1,9	16,66	6,46	13,48	0,41	13,57	1,34	5,08	3,54	1,20	0,60	99,84

Кристаллохимическая формула:



Для биотита из щелочных сиенитов характерна высокая железистость (80%) и высокое содержание Na<sub>2</sub>O и TiO<sub>2</sub>.

**Эпидот.** Образует желто-зеленоватые идиоморфные зерна включенных между зернами полевых шпатов. Слабо плеохроирует;  $N_g = -1,752$ ,  $N_p = 1,724$ , что соответствует эпидоту с 15% железистого компонента.

**Нефелин.** Встречается редко в виде ксеноморфных зерен; обычно замещается канкринитом, цеолитом, либнеритом и др. Является

одним из поздних минералов. Сравнительно часто нефелин встречается в нефелиновых монцонитах. Вокруг нефелин-сиенитовых пегматитов, особенно разветвляющихся, наблюдается слабая нефелинизация.

Содалит и канкринит. Встречаются редко как вторичные продукты по нефелину. Обычно ассоциирует с альбитом, белой слюдой и др.

Либенерит. Образует микрочешуйчатые агрегаты (размер чешуек 0,05—0,1 мм), развивающиеся по нефелину совместно с другими вторичными минералами.

Цеолит. Часто встречается в лейкократовых щелочных сиенитах в виде округлых шаровидных зерен размером до 1 см. В шлифах образует радиально-лучистые агрегаты. Удлинение положительное. Двухосный положительный.  $Ng = 1,480 \pm 0,002$ ,  $Np = 1,468 \pm 0,002$ . Относится к натролиту.

Кальцит. Образует небольшие зерна среди вторичных по нефелину минералов. Очень редко образует ксеноморфные двойникового строения зерна в стыках зерен полевых шпатов.

Большинство описанных выше минералов из щелочных пород в главной своей массе при высокотемпературных автометасоматических процессах либо изменяет состав в сторону увеличения их железистости, либо в результате перекристаллизации образуется вновь (вторая генерация). По мнению многих исследователей [4], автометасоматические процессы (эгиринизация, феррогастингтизация, нефелинизация, содалитизация и др.) играют важную роль в образовании щелочных пород.

### Особенности химического состава щелочных пород

Средний химический состав Мегринского щелочного сиенита очень близок к нормативному составу щелочных сиенитов по Дэли. Для щелочных пород наблюдаются некоторые отклонения: лейкократовых щелочных сиенитов к щелочно-земельным сиенитам, среднезернистых щелочных сиенитов к нефелиновым монцонитам, меланократовых щелочных сиенитов к тералитам (табл. 2).

Характерными особенностями щелочных пород района является: 1) относительно небольшое содержание щелочей, никогда не достигающее избытка по сравнению с  $Al_2O_3$  (коэффициент агпантности  $\sim 0,5$ ), что характерно для миаскитового типа щелочных пород; 2) постоянное, хотя и не резкое, преобладание  $K_2O$  над  $Na_2O$  (за исключением сильноальбитизированных разностей) при отношении  $K_2O:Na_2O = 1 - 1,3$  и сумме щелочей 9—12%; 3) отношение  $FeO:MgO$  всегда больше единицы; соотношение  $FeO:Fe_2O_3$  для лейкосиенитов больше единицы и для мезомеланократовых — меньше; 4) щелочные породы в целом характеризуются высокой известковистостью, при  $CaO > MgO$ .

Указанные особенности химизма пород нашли свое отражение и в их минералогических особенностях. Для фемических минералов характерна высокая глиноземистость, железистость и щелочность, а также

Таблица 2

## Химический состав щелочных пород (в весовых %)\*

Окислы в %	Щелочная лейкосен- ит	Щелочная среднеазерис- тый сиенит	Нефелиновый монцонит	Щелочная ме- ланократовый сиенит	Щелочная си- енит, среднее из 8 анализов	Числовые характеристики по А. Н. Заварицкому					
	I	II	III	IV	V	па- ра- метры	I	II	III	IV	V
SiO <sub>2</sub> . . .	57,36	57,00	54,00	55,98	56,68	a	18,3	20,3	12,5	20,2	18,5
TiO <sub>2</sub> . . .	0,10	0,30	0,28	0,40	0,29	c	3,5	3,3	10,1	3,8	5,8
Al <sub>2</sub> O <sub>3</sub> . . .	23,36	19,21	22,37	20,72	21,20	b	12,2	8,3	10,8	11,6	7,1
Fe <sub>2</sub> O <sub>3</sub> . . .	1,65	4,90	1,77	5,54	2,50	S	66,0	68,1	66,7	64,4	68,6
FeO . . .	2,32	1,42	4,08	2,36	2,26	a'	50,9	—	—	—	—
MnO . . .	0,21	0,17	0,07	0,06	0,15	f'	32,2	69,8	54,8	61,1	67,3
MgO . . .	1,17	0,05	2,53	2,02	1,22	p'	16,9	0,9	42,5	29,9	30,6
CaO . . .	2,88	4,54	7,80	4,00	4,01	c'	—	29,3	2,7	9,0	2,1
Na <sub>2</sub> O . . .	4,62	3,47	3,80	5,25	4,61	n	55,6	52,1	71,7	51,8	58,6
K <sub>2</sub> O . . .	5,56	6,44	2,26	5,82	5,06	t	0,1	0,1	0,4	0,7	0,4
П. п. п . . .	0,15	2,42	0,45	0,74	1,28	q	18,8	51,7	15,1	40,7	32,7
Сумма . . .	99,38	99,96	99,84	100,15	99,26	Q	—8,1	—7,7	—1,6	—15,4	—5,6

преобладание CaO над MgO, а для салических минералов — весьма незначительное развитие нефелина, высокая основность плагиоклаза и преобладающая роль калишпата.

Сиенито-диориты, монцониты и щелочные сиениты, имеющие друг с другом тесные петрографические взаимоотношения, образуют родственную петрохимическую серию щелочно-земельного и субщелочного химизма с заметным повышением щелочности в ряду монцонит—сиенит—щелочной сиенит.

### Особенности распределения и состав акцессорных минералов

Со всех разностей щелочных сиенитов было взято и обработано 15 проб весом 10 кг. Обработка проб и методика исследования акцессорных минералов изложена в ранее опубликованной статье автора [8].

Кратко остановимся на характеристике встречающихся в щелочных породах акцессорных минералов.

**Магнетит.** Содержание магнетита возрастает параллельно с возрастанием фемических минералов в щелочных сиенитах от 0,6 до 2,4%. Образует довольно крупные (0,5—1 мм) октаэдрические кристаллы с неравномерно развитыми или искаженными гранями. Магнетит, как правило, ассоциирует с фемическими минералами, нередко обрастаю при автометасоматических процессах железистым биотитом и ферро-

\* Анализы № I и III по материалам автора; № II и IV заимствованы у А. И. Адамяна [1]. Все анализы выполнены в лаборатории ИГН АН СССР.

гастингситом. Спектральным анализом\* установлены: Mn (0,01%), Ti (0,3—1,0%), Ni (0,003%), Co (0,003%), V (0,05%), Ga (0,01—0,03%), Cu (0,01%), Zn (0,01%), Pb (0,001%) и др.

**Титаномагнетит.** Образует неправильной формы выделения преимущественно в мезократовых и меланократовых щелочных сиенитах. Размер зерен 5—10 мм. Содержание титана ~ 3%. Особенно крупные (3—4 см) кристаллы титаномагнетита встречаются в пегматитах.

**Ильменит.** Наиболее широко развит в среднезернистых сиенитах и нефелиновых монцонитах, в меньшей степени в лейкократовых щелочных сиенитах. Среднее содержание ильменита в породах 0,05%, причем в некоторых разностях сиенитов доходит до 0,1%. Ильменит образует пластинчатой формы выделения, размером 2—3 мм, в стыках зерен полевых шпатов в ассоциации с апатитом, сфеном и титаномагнетитом.

Характерной особенностью ильменита является высокое содержание в нем ниобия (0,1—0,3%) и tantalа (0,03%). Из других примесей отметим V (0,003%), Zr (0,03%), Mo (0,003%), Ga (0,01%), La (0,01%), Pb (0,003%), Sn (0,001%).

**Апатит.** Весьма характерный акцессорный минерал щелочных пород. Среднее содержание апатита 0,64%. Наблюдается закономерное возрастание содержания апатита от среднезернистых сиенитов (0,5%) к пегматоидным лейкократовым сиенитам, где оно достигает 1,4%, а редко и более (3—4%).

Участки лейкократовых сиенитов, обогащенных апатитом (апатитизация), обычно интенсивно альбитизированы. Как в нефелиновых монцонитах, так и альбититах с. Пхрут содержание апатита высокое (0,7—1,5%). Изометричные зерна апатита, размером 0,5×2 мм, редко 1×3 мм, обычно включены в биотит и феррогастингсит. Очень часто ассоциирует с альбитом, нефелином и калишпатом.

Выделяются два морфогенетических типа апатита: 1) водяно-прозрачные бледно-голубые апатиты длиннопризматического габитуса с хорошо развитыми гранями гексагональной призмы (1100), двух бипирамид (1101) и (2111) и базопинакоида; 2) мутные, темноокрашенные сильно корродированные апатиты короткопризматического габитуса. Дымчатая окраска апатита обусловлена включениями тонкодисперсных частиц темных минералов и обычно слабо плеохроирует. Такие апатиты характерны для щелочных пород с. Пхрут и Калер, а также для среднезернистых и меланократовых щелочных сиенитов.

Судя по показателю преломления ( $N_g = 1,638$ ,  $N_p = 1,632$ ), бледно-голубые апатиты щелочных сиенитов относятся к существенно фторосодержащим апатитам.

Для апатита из щелочных сиенитов характерно высокое содержание (табл. 6) редких земель ( $\Sigma \text{TR}_2\text{O}_3 = 2,40\%$ ), тория (0,06%) и урана (0,005%), причем в составе редких земель преобладают лантаноиды

\* Спектральные анализы выполнены в лаборатории ИГН АН АрмССР Г. М. Мкртчяном и М. Я. Мартиросяном.

цириевой и неодимовой группы (табл. 5). Кроме того, спектральным анализом установлены: Mn (0,03%), Cu (0,003%), Pb (0,003%), Ga (0,003%), Y (0,10%), Sr (0,3%), Ba (0,1%), Li (0,001%).

**Сфен.** Наиболее широко распространенный после магнетита акцессорный минерал. Во всех разностях щелочных сиенитов образует крупные (0,5—2 мм) удлиненно призматические кристаллы, имеющие в шлифах ромбовидные очертания. Нередко образует ксеноморфные выделения с полисинтетически двойниковым строением. Выделяются два морфогенетических типа сфена: 1) ранние, бледно-желтые, желтые удлиненно-призматические кристаллы с хорошо развитыми гранями (110) и (111), реже (100). Размер кристаллов не более 2—6 мм. Встречается во всех разностях щелочных сиенитов и очень редко в нефелиновых монцонитах и альбититах; 2) поздние буро-коричневые табличеобразные кристаллы с хорошо развитыми гранями (111), (100) и (201) и редко бесформенные выделения. Размер кристаллов 1—2 см. Встречается только в лейкократовых пегматоидных щелочных сиенитах, нередко образуя кучные скопления. Образование бурого сфена протекает в автометасоматическую стадию изменений в породе.

Содержание сфена в среднем 0,75%. В мезократовых сиенитах не выше 0,5%, а в нефелиновых монцонитах и альбититах встречается в единичных зернах (0,1%). В лейкократовых сиенитах — 0,5—1,0%, однако очень часто отмечаются участки с содержанием более 2—3% сфена, а в меланократовых сиенитах около 5—6%. Сфен широко распространен в пегматитах. Для сфена бледно-желтого цвета характерна ассоциация с биотитом и роговой обманкой.

Таблица 3

Количественные соотношения акцессорных минералов в щелочных сиенитах  
(в весовых %)

Минералы	Пределы колебания	Среднее содержание	Минералы	Пределы колебания	Среднее содержание
Магнетит . . .	0,6 —2,4	0,85	Бетафит . . .	Ед. знаки —0,001	Ед. знаки
Титано-магнетит	0,1 —0,3	0,15	Бадделеит . . .	Ед. знаки —0,008	0,003
Ильменит . . .	0,01 —0,1	0,05	Лейкосен . . .	0,01 —0,03	0,02
Апатит . . . .	0,5 —1,4	0,64	Турмалин . . .	0,005—0,02	0,015
Циркон . . . .	0,1 —0,6	0,21	Флюорит . . .	0,05 —0,6	0,15
Сфен . . . .	0,5 —3,0	0,75	Пирит . . . .	0,001	0,001
Циртолит . . .	0,01 —0,02	0,015	Халькопирит . .	Ед. знаки	Ед. знаки
Ортит . . . .	0,005—0,02	0,01	Молибденит . .	Ед. знаки	Ед. знаки
Монацит . . . .	0,03 —0,2	0,05	Торит . . . .	Ед. знаки —0,001	0,001
Анатаз . . . .	Ед. знаки —0,002	0,001	Корунд . . . .	Ед. знаки	Ед. знаки

Бурый сфен образует выделения в интерстициях полевых шпатов и ассоциирует с альбитом и нефелином.

Сфен из щелочных пород характеризуется высоким содержанием иттрия (2,5%) и редких земель (1,65%). Химическими анализами (табл.

6) в сфенах установлены также  $\text{Nb}_2\text{O}_5$ —0,3%,  $\text{ThO}_2$ —0,18% и уран (0,005%).

По содержанию отдельных лантаноидов сфены характеризуются высоким содержанием La, Ce, Pr, Nd и Sm. Более тяжелые лантаноиды иттриевой группы имеют подчиненное значение (табл. 5).

Сфен щелочных сиенитов является основным концентратом ниобия, иттрия, редких земель и радиоэлементов. Полуколичественным спектральным анализом установлены: Mn (0,03—0,1%), Co (0,003%), V (0,03%), Zr (0,1%), Hf (0,03%), Nb (0,3%), Cu (0,01%), Pb (0,01%), Sn (0,01%), Ga (0,01%), La (0,3%), Ce (0,3%), Sr (0,3%), Ba (0,1%), Li (0,001%)<sup>6)</sup>, Be (0,0003%) и Th (0,1—0,3%).

Циркон. Встречается в виде хорошо образованных коротко-призматических кристаллов розового цвета. Размер кристаллов в среднезернистых сиенитах — 0,5—1,0 мм, в пегматоидных — 1,5—3 мм, редко — 5 мм. Удлинение (отношение длины кристалла к ширине) разное 1:1,5—1:1,7.

Основными кристаллографическими формами являются: тетрагональная призма (110) и тетрагональная бипирамида (111). Очень слабо развиты грани (311), (331) и (110). Грани кристаллов обычно развиты неравномерно. Цвет циркона в Шваниздзорских щелочных породах — розовый различной интенсивности и бесцветный в нефелиновых монцонитах и щелочных сиенитах с. Пхрут. Следует отметить, что бесцветные мелкие цирконы как в сиенито-диоритах, так и в щелочных породах являются ранними — магматическими. Розовые крупные цирконы в лейкократовых сиенитах большей частью являются метасоматического происхождения, как и аналогичные цирконы из других фаций монцонитовой интрузии. В нефелиновых монцонитах с. Пхрут вместо позднего циркона образуется бадделеит. Розовый циркон образует интерстициальные искаженные кристаллы в ассоциации с биотитом, альбитом, нефелином и феррогастингитом. В цирконах, обычно включенных в поздние минералы, очень много газово-жидких пузырей, микротрещин, включений апатита, роговой обманки и др.

Подобно сфену и апатиту, циркон является характерным акцессорным минералом щелочных пород. Среднее содержание циркона в породах — 0,21%, причем лейкократовые разности более обогащены — 0,5—0,6% (особенно альбитизированные участки), чем мезо-меланократовые разности — 0,1—0,2%. Очень мало циркона в щелочных породах и альбититах с. Пхрут — 0,05—0,1%.

В цирконах из щелочных сиенитов химическими анализами (табл. 4) установлены: иттрий (1,0%), редкие земли (0,30%), ниобий (0,01%), гафний (0,49%), торий (0,07%) и уран (0,04%).

Обращает на себя внимание высокое цирконий-гафниевое отношение в цирконах — 86 (в гранитоидах 35—40). Характерной особенностью состава (табл. 5) редкоземельных элементов является одинаково высокое содержание лантаноидов цериевой (La, Ce), неодинаковой (Pr, Nd) групп, с одной стороны, и эрбиевой (Er, Tm) и иттербиевой (Yb, Lu) групп — с другой. Помимо этих элементов в цирконах спектро-

Таблица 4

**Содержание редких земель, иттрия, ниобия, гафния, тория и урана  
в акцессорных минералах из щелочных сиенитов\***

Минералы	Содержание в породе в весовых %	Содержание в весовых %					
		$\Sigma \text{TR}_2\text{O}_3$	$\text{Y}_2\text{O}_3$	$\text{Nb}_2\text{O}_5$	$\text{HfO}_2$	$\text{ThO}_2$	U общ.
Апатит . . . . .	0,64	2,40	0,10	—	—	0,06	0,005
Сфен . . . . .	0,75	1,65	2,50	0,30	0,03	0,18	0,005
Циркон . . . . .	0,21	0,30	1,00	0,01	0,49	0,07	0,040
Ортит . . . . .	0,01	21,0	0,16	0,01	—	1,28	0,012
Монацит . . . . .	0,05	62,3	2,50	—	—	5,26	0,620

скопически установлены: Fe (0,3—1,0%), Mn (0,03—0,1%), Ti (0,3%), Cu (0,003%), Pb (0,003%), Ga (0,003%), Be (0,001%), Ba (0,3%) и др.

**Циртолит.** Полуметамиктные непрозрачные цирконы серово-желтого цвета встречаются очень редко. Обычно они имеют бипирамидально-призматический габитус с сильно кородированными гранями. Циртолит более характерен для лейкократовых сиенитов, где его содержание достигает 0,01—0,02%. Спектральным анализом устанавливаются следующие элементы—примеси: Hf (0,3—1,0%), Nb (0,1%), Be (0,01%), Th (0,3—1%), U (1—3%), Pb (0,3%), Y (3—5%), Yb (0,3—1,0%), Ce (0,1—0,3%), Li (0,003%) и др.

**Ортит.** Встречается в виде мелких (0,1 мм) кристалликов таблитчатой формы и неправильных осколков. В иммерсии просвечивает красно-бурым цветом. Плеохроизм резкий — в желто-бурых тонах.  $N_g = 1,752 \pm 0,003$ ,  $N_p = 1,740 \pm 0,003$ . Содержание в породах невысокое — 0,01%. Более характерен для среднезернистых щелочных сиенитов краевых фаций и нефелиновых монцонитов [8].

Таблица 5

**Содержание отдельных лантаноидов в акцессорных апатитах, сфенах, ортиках и цирконах из щелочных пород\*\***

Мине- ралы	Содержа- ние $\Sigma \text{TR}_2\text{O}_3$ в %	Содержание редких земель в %, от $\Sigma \text{TR}_2\text{O}_3$ , принятое за 100%												
		La	Ce	Pz	Nd	Sm	Eu	Gd	Tb	Dy	Ho	Ez	Tu	Yb
Апатит . . . . .	2,40	25,0	44,0	4,4	23,0	1,8	0,2	1,1	0,2	0,5	—	—	—	—
Сфен . . . . .	1,65	19,0	43,0	6,1	23,0	3,4	0,3	0,9	0,15	0,9	0,2	0,3	—	0,2
Циркон . . . . .	0,30	18,0	45,0	3,4	9,0	1,5	0,1	1,5	0,2	2,3	0,5	5,0	1,0	1,0
Ортит . . . . .	21,0	39,0	58,0	3,4	6,5	0,1	—	—	—	—	—	—	—	—

\* Определения  $\Sigma \text{TR}_2\text{O}_3$ ,  $\text{Y}_2\text{O}_3$ ,  $\text{Nb}_2\text{O}_5$  и  $\text{ThO}_2$  выполнены в химической лаборатории ИМГРЭ АН СССР. Анализы на уран — С. С. Акоповой. Содержание  $\text{HfO}_2$  определено рентгеноспектральным методом в Институте геохимии им. Вернадского.

\*\* Содержания редких земель даны по результатам рентгеноспектральных анализов, выполненных в ИМГРЭ АН СССР Р. А. Баринским.

По составу ортит относится к цериевой разновидности с высоким содержанием La, Pr и Nd [8]. Химическими анализами (табл. 5) обнаружены:  $\text{Y}_2\text{O}_3$  (0,16%),  $\text{ThO}_2$  (1,28%), уран (0,012%) и  $\text{Nb}_2\text{O}_5$  (0,01%). Из других элементов примесей присутствуют: Sc (0,001%), Ga (0,03%), Be (0,003%), Li (0,001%), Zr (0,3—1,0%), Cu (0,01%), Sr (0,03%), Ba (0,01%), V (0,003%) и др.

**Монацит.** Наиболее характерный редкоземельный минерал щелочных сиенитов. Монацит встречается в виде бесцветных или бледно-желтых таблитчатых по (100) кристаллов размером 0,4—0,6 мм. В шлифах наблюдается в виде идиоморфных кристаллов прямоугольного сечения с хорошо заметной спайностью по (001) и (100). Оптически положителен. Угол  $c:\text{Ng}=2-3^\circ$ ,  $2V=12-16^\circ$ . Дисперсия оптических осей заметная,  $r > V$ . Очень слабо плеохроирует. Обычно монацит приурочен к стыкам зерен полевых шпатов. Содержание монацита в лейкократовых пегматоидных сиенитах достигает 0,1%, особенно много его в альбитизированных и флюоритизированных участках (в 1 км вверх по р. Шванидзор). В среднезернистых сиенитах и нефелиновых монцонитах встречается реже—0,03—0,05%. Монацит встречен также в экзоконтактовых амфиболизированных породах (кочевка Гюморац). Химический состав монацита приведен в табл. 5. Характерно высокое содержание лантана и церия (62,3%), а также иттрия (2,5%), тория (5,26%) и урана (0,62%). Очень часто устанавливаются: Ti (0,3—1,0%), Sc (0,001—0,003%), Be (0,001%), Pb (0,003%) и др.

**Бетафит.** Встречается очень редко. Единичные зерна бетафита были обнаружены в нефелиновых монцонитах и альбититах с. Пхрут и альбитизированных участках лейкократовых нефелинсодержащих разностях щелочных сиенитов. Сравнительно часто встречается в пегматитах. Образует октаэдрические кристаллы буро-коричневого цвета. Размеры кристаллов 0,04—0,08 мм. Бетафит ассоциирует с монацитом, циртолитом, бадделеитом и альбитом; в тонких осколках просвечивает желто-оранжевым цветом. Изотропен. Рентгенометрическая характеристика бетафита приведена в табл. 6. Судя по условиям нахождения, бетафит образуется за счет изменения первичного пирохлора при поздних метасоматических процессах. Спектральным анализом в бетафите обнаружены: Ca (3%), Fe (1,0%), Ti (>5%), Nb (1—3%), Ta (0,1—0,3%), Y (>1%), La (0,3—1,0%), Ce (0,3—1,0%), U (>3%), Th (~3,0%), а также следы: Be (0,001%), Sn (0,001%), Pb (0,003%).

Таблица 6

Рентгенометрическая характеристика бетафита\*

№ линий	I	$\frac{d\alpha}{n}$ (Å)	№ линий	I	$\frac{d\alpha}{n}$ (Å)
1	7	3,26	10	1,5	1,273
2	9	3,00	11	1,5	1,145
3	4	2,80	12	2	1,044
4	4	2,57	13	2	0,986
5	5	1,97	14	1,5	0,936
6	7	1,82	15	1	0,925
7	3	1,67	16	2	0,865
8	5	1,55	17	1,5	0,843
9	2	1,484	18	1	0,811

\* Рентгенограмма выполнена в лаборатории ИМГРЭ АН СССР Ю. А. Пятенко. Условия съемки:  $\lambda$  Cu-Ni,  $2R=0,57$ ;  $2\theta=0,6$  мм образец прокален при  $t=850^\circ$  З.

Судя по данным анализа, для бетафита характерно преобладание  $\text{U}$  над  $\text{Th}$  и  $\text{Y}$  над  $\text{Ce}$ .

**Бадделеит.** Очень редкий и специфический для щелочных пород акцессорный минерал. Установлен в щелочных породах и альбититах с. Пхрут, реже в альбитизированных разностях лейкократовых щелочных сиенитов. Содержание его не более 0,003%. Бадделеит образует удлиненно-призматические сильно уплощенные кристаллы с резко выраженной вертикальной штриховкой. Цвет коричнево-бурый. Плеохроирует. Рентгенометрическая характеристика бадделеита дана в табл. 7.

Таблица 7

Рентгенометрическая характеристика акцессорного бадделеита

№ линий	I	$\frac{d\alpha}{n} (\text{\AA})$	№ линий	I	$\frac{d\alpha}{n} (\text{\AA})$
1	2	3,76	10	2	1,560
2	10	3,31	11	6	1,496
3	4	2,94	12	2	1,410
4	7	2,64	13	5	1,335
5	5	2,20	14	4	1,230
6	10	1,842	15	4	1,034
7	7	1,712	16	4	0,998
8	4	1,670	17	6	0,892
9	2	1,612	18	3	0,847

Спектральным анализом в бадделеите обнаружены:  $\text{Zr}$  ( $> 10\%$ ),  $\text{Hf}$  (0,3%),  $\text{Nb}$  (0,03%),  $\text{Y}$  (0,01%),  $\text{La}$  (0,003%),  $\text{Ti}$  (0,03%). Образование бадделеита в щелочных породах связано с высокой подвижностью комплексных соединений циркония в резкощелочной среде, что в условиях недостатка кремнезема в позднемагматической стадии приводит к образованию бадделеита вместо розового циркона. Ассоциируемый с бадделеитом бесцветный циркон выделялся в магматическую стадию.

**Торит.** Очень редок. Редкие красновато-коричневые кристаллы тетрагонально-призматического облика, размером  $0,08 \times 0,1$  мм, установлены в альбите-

тиках и альбитизированных участках щелочных сиенитов с. Пхрут и Шванидзор. В иммерсии просвечивает желтым цветом. Изотропен  $N=1,724 \pm 0,003$ . В ассоциации с торитом, кроме альбита, встречается мусковит, циртолит, бадделеит, турмалин, бетафит и др. Спектральный анализом в торите, рентгенограмма которого приведена в табл. 8\*\*, установлены следующие элементы:  $\text{Th}$  ( $> 10\%$ ),  $\text{Ca}$  (1,0%),  $\text{Fe}$  (1—3%),  $\text{Ti}$  (0,1%),  $\text{Zr}$  (0,3—1,0%),  $\text{Pb}$  (0,1—0,3%),  $\text{Li}$  (0,001%),  $\text{Be}$  (0,001%),  $\text{Y}$  (0,3—1%),  $\text{Yb}$  (0,1—0,3%),  $\text{U}$  (0,1—0,3%),  $\text{Sc}$  (0,01%),  $\text{P}$  (0,3—1,0%) и др.

Торит более характерен для пегматитовых образований щелочных сиенитов.

**Турмалин** в незначительном ко-

\* Рентгенограмма выполнена в лаборатории Львовского госунта и рассчитана автором. Условия съемки  $\lambda \text{Cu-Ni}$ ;  $D=86$  мм,  $\rho=0,7$  мм.

\*\* Индентификация рентгенограмм бетафита, бадделеита и торита произведены по «Рентгенометрическому определителю минералов» В. И. Михеева, 1958.

\*\*\* Рентгенограмма выполнена в лаборатории Львовского госунта. Условия съемки:  $\lambda \text{Fe}$ ,  $D=86$  мм,  $\rho=0,7$  мм, образец прокален при  $t=860^\circ$ , 3 ч.

Таблица 8  
Рентгенометрическая характеристика акцессорного торита\*\*\*

№ линий	I	$\frac{d\alpha}{n} (\text{\AA})$	№ линий	I	$\frac{d\alpha}{n} (\text{\AA})$
1	3	3,34	7	1	1,890
2	3	3,16	8	4	1,654
3	3	3,00	9	3	1,417
4	4	2,598	10	8	1,187
5	2	(2,06)	11	6	1,151
6	2	1,815	12	4	1,126

личестве (0,015%) встречается во всех разностях щелочных сиенитов. Образует буро-черные призматические кристаллы и осколки неправильной формы. Размер зерен 0,14—0,2 мм. В иммерсионных препаратах резко плеохроирует в коричнево-зеленых тонах; обнаруживает зональное строение.  $N_g = 1,674 \pm 0,003$ ,  $N_p = 1,646 \pm 0,003$ , что соответствует турмалину с 80% шерлового компонента. В турмалине присутствуют: Li (0,1—0,3%), Ga (0,3—0,5%), Ti (0,1—0,3%), Sr (0,03—0,1%); Be (0,001%), La (0,001%), Cu (0,01%), Pb (0,003%), V, Ni, Co и др.

**Флюорит.** Весьма характерный минерал щелочных лейкократовых сиенитов, где его содержание достигает 0,15—0,6%. В среднезернистых разностях и щелочных породах с. Пхрут сравнительно редок (0,05%). Флюорит образует октаэдрические кристаллы, однако чаще встречается в форме неправильных осколков размером 0,5—1 мм, редко 3—4 мм. Цвет фиолетовый, различной интенсивности. Окраска неравномерная. Содержание флюорита в лейкократовых пегматоидных сиенитах возрастает со степенью альбитизации пород. Процесс флюоритизации иногда проявляется и вдоль микротреции, нередко образуя кучные скопления. Спектроскопически установлены: Be (0,003%), Ba (0,01%), Sr (0,1%), Y (0,3—1,0%), La (0,03—0,1%), Ga (0,001%), Mn (0,03—0,1%). Судя по высокому содержанию иттрия (0,3—1,0%), флюорит щелочных фаций относится к иттрофлюориту.

**Лейкоксен.** Представлен фарфоровидно-белыми агрегатами пластинчатого облика. Развивается вокруг титаномагнетита и ильменита.

**Анатаз.** Редок. В виде мелких (0,05—0,1 мм) остроугольно-бипирамидальных кристалликов черного цвета встречается в нефелиновых монцонитах с. Пхрут и среднезернистых щелочных сиенитах. Содержит: Nb (0,3—1,0%), Ta (0,03—0,1%), Zr (0,1—0,3%), Be (0,001%) и др.

**Пирит.** Встречается во всех разностях пород, но в незначительном количестве (0,001%). Образует куб-октаэдрические кристаллы.

**Халькопирит и молибденит.** В отдельных пробах щелочных пород с. Пхрут и лейкократовых сиенитах присутствуют в виде единичных зерен.

**Корунд.** Редок. Встречается в виде остроугольных желто-зеленых обломков в пегматоидных сиенитах и пегматитах.

### Распространение акцессорных элементов

В щелочных породах описываемого района, кроме распространенных петрогенных элементов (Si, Al, Fe, Mg, Mn, Ca, Na, K и др.), присутствуют редкие и рассеянные элементы (Ti, Nb, Ta, Zr, TR, Ga, Th, Sr и др.), в благоприятных условиях образующие редкие акцессорные минералы или рассеивающиеся в решетках распространенных минералов. Ниже даются некоторые особенности в закономерности распределения наи-

более важных редких элементов, определения которых проводились в средних пробах рентгено-спектральными, спектральными и химическими анализами.

**Литий.** Отмечен во всех разностях щелочных сиенитов, однако лейкократовые щелочные сиениты более обогащены литием ( $5 \cdot 10^{-3} \%$ ), чем среднезернистые сиениты и нефелиновые монцониты ( $3 \cdot 10^{-3} \%$ ), что несколько ниже кларка лития в изверженных породах ( $5 \cdot 10^{-3} \%$  по А. П. Виноградову). Заметно обогащены литием пегматиты ( $2 \cdot 10^{-2} \%$ ). Литий концентрируется в эгирии-авгитах (0,001%), феррогастингсите (0,001%), биотите (0,03—0,1%), турмалине (0,03%), мусковите (0,1—0,3%), плагиоклазе, альбите, калишпате (0,001—0,003%), нефелине, содалите, канкрините, эпидоте (0,001%), корунде (0,001%), бетафите (0,001%), ортите (0,003%), редко встречается в сфене, цирконе, лейкоксене, цеолите, флюорите (0,001%). Таким образом, основная масса лития сконцентрирована в породообразующих минералах.

**Бериллий.** Среднее содержание Be в щелочных породах равно  $8 \cdot 10^{-4} \%$ , что немногим больше кларка в нефелиновых сиенитах ( $7 \cdot 10^{-4} \%$  по А. А. Беусу). Лейкократовые щелочные сиениты содержат до  $1 \cdot 10^{-3} \%$  бериллия, а среднезернистые не более  $5 \cdot 10^{-4} \%$ . Основная масса бериллия в породах сосредоточена в алюмосиликатах, что в присутствии фтора в породах намного облегчает изоморфное замещение бериллием алюминия и кремния [3]. Так, в калишпате содержится 0,0003—0,001%, нефелине—0,003—0,01%, эгирии-авгите—0,001%, феррагастингсите—0,001%, биотите—0,003%, канкрините—0,001%, корунде—0,01%, ортите—0,003%, сфене, цирконе—0,0003—0,001%, турмалине—0,003%, флюорите—0,03—0,1%, бетафите—0,001% и эпидоте—0,001%.

**Рубидий.** Данных по содержанию рубидия в породах нет. Рубидий отмечен в калишпате (0,017%) и в биотите (0,030%), где он изоморфно замещает калий. Судя по этим данным, содержание рубидия в щелочных сиенитах заметно понижено ( $1 \cdot 10^{-3} \%$  против кларка в изверженных породах —  $2,8 \cdot 10^{-3} \%$ ).

**Стронций и барий.** Средние содержания этих элементов, вычисленные по данным спектрального анализа, следующие: Sr— $1,5 \cdot 10^{-1} \%$ ; Ba— $2,5 \cdot 10^{-1} \%$ , что значительно выше их кларков в изверженных породах (по К. Ранкама Sr— $3 \cdot 10^{-2} \%$ , Ba— $2,5 \cdot 10^{-2} \%$ ). Стронций и барий являются наиболее характерными элементами щелочных сиенитов. Они отмечаются спектральными анализами во всех изученных минералах. К. А. Власов, М. В. Кузьменко и Е. М. Еськова [6] отмечают весьма заметное обогащение щелочных пород Ловозерского массива как стронцием (0,09—0,13%), так и барием (0,12—0,37%). Высокое содержание бария в Мегринских щелочных породах обусловлено отчетливо калиевым характером пород. Что же касается стронция, то его высокое содержание обусловлено, вероятно, карбонатной ассимиляцией. В частности, в известняках, обнажающихся в кон-

такте с щелочными сиенитами, обнаружено 0,3—1% стронция и 0,1—0,3% бария.

Стронций обнаружен в плагиоклазе (0,3%), пироксене (0,1%), феррогастингсите (0,1—0,3%), биотите (0,01%), нефелине, содалите, калишпате (0,03—0,1%), эпидоте (0,1%), апатите (0,3—1,0%), кальците (0,3—1,0%), сфене, флюорите, турмалине, цеолите (0,1—0,3%, редко 1,0%).

Барий присутствует в калишпате (0,3—1,0%), эгирин-авгите, феррогастингсите, плагиоклазе, альбите, нефелине, канкрините (0,01—0,03%), мусковите (0,3%), турмалине (0,1%), цеолите, сфене (0,03—0,1%) и др.

Галлий. В щелочных породах является наиболее распространенным рассеянным элементом. Среднее содержание галлия в щелочных породах района  $6 \cdot 10^{-3}\%$ , что почти в четыре раза выше его кларка в изверженных породах ( $1,6 \cdot 10^{-3}\%$  по А. П. Виноградову).

Среднее содержание галлия в лейкократовых щелочных сиенитах ( $8 - 10 \cdot 10^{-3}\%$ ) почти в два раза выше, чем в среднезернистых сиенитах и нефелиновых монцонитах ( $3 - 5 \cdot 10^{-3}\%$ ), в нефелиновых пегматитах ( $1,0 \cdot 10^{-2}\%$ ). В ходе кристаллизации щелочных пород Ga концентрируется в лейкократовых минералах: нефелине, содалите (0,03%), калишпате (0,003%), плагиоклазе, альбите (0,001—0,003%), магнетите (0,001%), сфене, эпидоте, турмалине, ортите (0,003—0,01%) и др. Максимальное содержание галлия установлено в корунде (0,3%).

Скандий и олово. В лейкократовых и среднезернистых щелочных сиенитах Sc и Sn не обнаружены. Скандий отмечается в меланократовых сиенитах (0,001%). Олово в виде примеси установлено в биотите (0,001—0,003%), сфене (0,003—0,010%), анатазе (0,003%), ильмените (0,001%), бетафите (0,001%), циртолите (0,003%), эгирин-авгите (0,001%).

Скандий присутствует в торите (0,01%), монаците (0,03%), редко в ортите, титаномагнетите (0,001%), цирконе (0,003%), циртолите (0,001%).

Элементы группы железа (Ti, V, Cr, Co, Ni, Mn). Из этой группы лишь титан является характерным элементом. Остальные элементы очень редко в тысячных долях процента устанавливаются в лейкократовых сиенитах и, как правило, накапливаются в мезо- и меланократовых щелочных сиенитах, где их содержание порядка 0,005—0,01%. Элементы группы железа концентрируются в железо-магниевых силикатах и магнетите (0,01—0,03%).

Титан. Среднее содержание титана в щелочных лейкократовых сиенитах по данным химических анализов — 0,29%, что значительно ниже его кларка в изверженных породах (по Ранкама 0,44%). Несколько выше содержание титана в мезо-меланократовых разностях (0,3—0,4%). Главная масса титана в породах сосредоточена в ильмените, сфене, биотите ( $1,9\%$   $TiO_2$ ), феррагастингсите ( $1,09\%$   $TiO_2$ ) и эгирин-авгите (0,3—1,0%). Причем на долю железо-магниевых силикатов пород приходится 50%  $TiO_2$ , а остальная часть — на собственно тита-

новые минералы. В рассеянном состоянии титан присутствует практически во всех изученных минералах. В щелочных сиенитах, обогащенных  $TiO_2$  в виде сфена и ильменита, Nb и Ta почти целиком рассеиваются в этих минералах. В разностях же, содержащих небольшое количество  $TiO_2$  (нефелиновые монцониты), ниобий образует бетафит.

Ниобий и tantal. Почти во всех изученных разностях щелочных сиенитов содержание ниobia — 0,01%. В тяжелых фракциях из этих же пород содержание ниobia достигает 0,1—0,3%, а из альбититов и пегматитов — 0,3—1%. По сравнению с кларком в изверженных породах (0,002% по А. П. Виноградову) среднее содержание ниobia в щелочных породах Мегринского plutона почти в пять раз выше, однако при сравнении с кларком в нефелиновых сиенитах (0,02% по Гольдшмиту) — почти в два раза понижено.

В лейкократовых и альбитизированных сиенитах ниобий встречается чаще, чем в среднезернистых и меланократовых щелочных сиенитах.

Главная масса ниobia в породах сконцентрирована в сфене, биотите и ильмените и редко в единственном ниобиевом минерале — бетафите. Рассеянный ниобий установлен в ильмените (0,1—0,3%), сфене (0,3%), цирконе (0,01—0,03%), циртолите (0,1%), ортите (0,01%), бадделейте (0,03%), биотите (0,01—0,03%), анатазе (0,3—1,0%) и редко в турмалине и титаномагнетите (0,01%).

Тантал почти целиком вместе с ниобием рассеивается в титановых минералах и бетафите (0,1%), в сфене (0,01%), анатазе (0,03%).

Цирконий и гафний. Цирконий отмечается во всех разностях сиенитов, однако лейкократовые щелочные сиениты более богаты им ( $2,5 \cdot 10^{-2} \%$ ), чем среднезернистые сиениты ( $1,5 \cdot 10^{-2} \%$ ). Сравнение с кларком изверженных пород ( $1,7 \cdot 10^{-2} \%$  по А. П. Виноградову) показывает, что лейкократовые сиениты в 1,5 раза обогащены цирконием. Меланократовые сиениты бедны цирконием.

Геохимически тесно связанный с цирконием, гафний содержится в щелочных сиенитах в количествах ( $2,9 \cdot 10^{-4} \%$ ), близких к кларковым ( $3 \cdot 10^{-4} \%$  по А. П. Виноградову). Отношение  $Zr : Hf$  в щелочных сиенитах очень высокое — 86. Это связано с более низкой подвижностью гафния по сравнению с цирконием в резко щелочных условиях [7]. Содержание гафния в розовых цирконах, по данным рентгеноспектральных анализов, составляет 0,49%, в бадделейте — 0,3%, в сфене — 0,01%, в бетафите — 0,01%. Спектральными анализами цирконий установлен в следующих минералах: эгирин-авгите (0,10%), феррогастингсите (0,1%), биотите (0,03%), бетафите (0,1%), ортите, сфене (0,01%). Однако следует отметить, что 90% циркония в щелочных сиенитах представлено циркониевыми минералами: цирконом, циртолитом, а в нефелиновых монцонитах и альбититах, кроме того, и бадделейтом.

Редкие земли. Редкие земли в щелочных породах района содержатся в повышенных количествах. По данным химических анализов (аналитик Н. А. Элиазян), содержание  $\Sigma TR_2O_3$  в средней пробе

щелочных сиенитов составляет 0,091%, что в шесть раз выше кларка в изверженных породах (0,015%  $\Sigma \text{TR}_2\text{O}_3$  по А. П. Виноградову). Максимальные концентрации редкие земли образуют в альбитизированных разностях сиенитов (0,10—0,12%).

Редкие земли частично рассеиваются в кристаллических решетках кальциевых минералов, но в основном образуют самостоятельные минералы: ортит и монацит. Химическими анализами (И. С. Разина, Е. М. Казакова, ИМГРЭ АН СССР) высокие содержания  $\Sigma \text{TR}_2\text{O}_3$  обнаружены в апатите (2,40%), сфене (1,65%), цирконе (0,30%), ортите (21,0%) и монаците (62,3%). Учитывая содержание в щелочных сиенитах минералов, содержащих редкие земли, последние распределяются следующим образом: на апатит—23%, сфен—20%, циркон—2%, ортит—15% и монацит—35%; остальные 5% приходятся на биотит (0,001%), калишпат (0,003%), бетафит (3,0%), флюорит (0,03—0,1%) и др. Как показывают рентгеноспектральные анализы апатита, сфена и ортита, около 85—95% от  $\Sigma \text{TR}_2\text{O}_3$  приходится на лантаноиды цериевой и неодимовой групп, лишь в цирконах, торите, циртолите концентрируются редкие земли иттриевой группы (20% от  $\Sigma \text{TR}_2\text{O}_3$ ). Таким образом, основными носителями редких земель (в основном цериевой группы) в сиенитах являются монацит, сфен и апатит.

Иттрий. Среднее содержание иттрия в лейкократовых щелочных сиенитах района равно  $3 \cdot 10^{-3}\%$ , что несколько выше кларка в изверженных породах ( $2 \cdot 10^{-3}\%$  по А. П. Виноградову); в среднезернистых сиенитах и нефелиновых монцонитах —  $2 \cdot 10^{-3}\%$ . Некоторая обогащенность щелочных сиенитов района иттрием является одной из его характерных геохимических черт. Особенно четко это проявляется в пегматитовой фации (в группе калиевых пегматитов), где иттрия содержится 0,02%. Здесь встречаются ксенотит, иттриалит, малакон и иттрийсодержащие танталониобаты. По данным рентгеноспектральных анализов, иттрий установлен в апатитах (0,1%), сфене (2,5%), цирконе (1,0%), ортите (0,16%) и монаците (2,5%). Основная масса (75—80%) иттрия пород сосредоточена в сфене и флюорите (0,3—1,0%). Спектральным анализом иттрий обнаружен в биотите (0,001%), калишпатае (0,003%), бетафите (>1,0%), циртолите (3—5%), бадделеите (0,01%) и торите (0,3—1,0%).

Торий. Среднее содержание тория в щелочных сиенитах, по данным химических анализов (аналитики Д. В. Акопян и Д. А. Казарян), составляет  $2,5 \cdot 10^{-3}\%$ , а в альбитизированных участках —  $3 \cdot 10^{-3}\%$ , что вдвое превышает кларк тория в изверженных породах.

В главной своей массе (75%) торий концентрируется в редкоземельных минералах, изоморфно замещая лантан, церий и отчасти кальций. По данным химических анализов (табл. 4), содержание  $\text{ThO}_2$  в минералах следующее: в апатите — 0,06%, сфене — 0,18%, цирконе — 0,07%, ортите — 1,28%, монаците — 5,26%. Кроме того, спектральным анализом торий установлен в циртолите (0,3—1,0%), бетафите (1—3%), флюорите (0,1—0,3%). Определения содержания  $\text{ThO}_2$  в породо-

образующих минералах (калишпат — 0,003%, нефелин — 0,005%, пла-  
гиоклаз — 0,002%, биотит — 0,006%) показали, что содержание тория, приходящееся на полевошпатовую часть породы (70% массы породы), составляет примерно 60% общего его содержания в породе. Однако следует отметить, что высокое содержание  $\text{ThO}_2$  в полевых шпатах, возможно, обусловлено субмикроскопическими включениями торий-содержащих минералов. В альбитизированных участках и в альбита-  
тиках очень редко встречается торит.

**Уран.** Среднее содержание урана в щелочных сиенитах —  $5,6 \cdot 10^{-4}\%$ , что в два раза больше кларка в изверженных породах ( $2,6 \cdot 10^{-4}\%$  по А. П. Виноградову). Среднезернистые и меланократовые сиениты несколько обеднены ураном ( $3 \cdot 10^{-4}\%$ ). В то же время в некоторых участках лейкократовых сиенитов, особенно в альбитизированных, содержание урана достигает  $7-8 \cdot 10^{-4}\%$ , т. е. в 1,5—2 раза выше среднего содержания их в гранитоидах plutона. Заметная обогащенность щелочных пород ураном (отношение  $\text{Th} : \text{U} = 4,5$ ), вероятно, связана с довольно высоким содержанием  $\text{K}_2\text{O}$ , равным 5—6%, постоянно преобладающим над  $\text{Na}_2\text{O}$ .

Химическими анализами (табл. 5, аналитик С. С. Акопова) уран установлен в апатите (0,005%), сфене (0,005%), цирконе (0,04%), ортите (0,012%), монаците (0,62%), калишпата (0,0005%), нефелине (0,0004%), биотите (0,0006%), содалите (0,0003%), ильмените (0,001%), магнетите (0,0006%), циртолите (0,3—1,0%), торите (0,3—1%), флюорите (0,03—0,1%) и анатазе (0,03—0,1%). Минералогические подсчеты показывают, что 60% урана от общего его содержания в породах приурочено к породообразующим минералам, остальная часть урана пород приурочена к сфену, апатиту, монациту, циркону и флюориту.

Однако возможно, что часть урана, приуроченная к полевым шпатам, представлена субмикроскопическими выделениями урансодержащих акцессорных минералов.

Таблица 9  
Средние содержания некоторых редких акцессорных элементов  
в щелочных породах Мегринского района (в г/т)

Элементы	Содержа- ние в г/т	Элементы	Содержа- ние в г/т	Элементы	Содержа- ние в г/т
Литий . . . . .	50	Галлий . . . . .	60	Редкие земли . . . . .	910
Бериллий . . . . .	10	Титан . . . . .	2900	Иттрий . . . . .	30
Рубидий . . . . .	10	Ниобий . . . . .	100	Торий . . . . .	25
Стронций . . . . .	1500	Цирконий . . . . .	250	Уран . . . . .	6
Барий . . . . .	2500	Гафний . . . . .	3	Фтор . . . . .	1200

**Медь и молибден.** Среднее содержание молибдена, по данным химических анализов (аналитик А. К. Иванян), равно  $4,7 \cdot 10^{-4}\%$ , а меди —  $2,3 \cdot 10^{-3}\%$ . При сравнении с кларками этих элементов

(Mo— $1,7 \cdot 10^{-4} \%$ ; Cu— $7 \cdot 10^{-3} \%$ ) в изверженных породах выясняется, что щелочные сиениты, как и вмещающие их сиенито-диориты и монцониты, почти в 2,5 раза обогащены молибденом и заметно обеднены медью. Среднезернистые и меланократовые разности щелочных сиенитов характеризуются заметным накоплением меди ( $1 \cdot 10^{-2} \%$ ).

Главная масса молибдена заключена в биотите, сфене, ильмените и магнетите ( $0,01$ — $0,03 \%$ ). Кроме того, очень редко устанавливается акцессорный молибденит. Основная масса меди сконцентрирована в железо-магниевых силикатах ( $0,01$ — $0,03 \%$ ).

Свинец и цинк. Оба элемента мало характерны для щелочных пород района и обнаруживаются в количестве ниже кларкового. Свинец (обычно радиогенный) присутствует во всех уран-торийсодержащих минералах ( $0,001$ — $0,03 \%$ ). Цинк в основном приурочен к железо-магниевым минералам ( $0,01$ — $0,03 \%$ ).

Фтор. По данным химических анализов, среднее содержание фтора в щелочных сиенитах  $-0,12 \%$ , что почти вдвое выше кларка в изверженных породах ( $6,6 \cdot 10^{-2} \%$  по А. П. Виноградову). Около 65% фтора породы сосредоточено в акцессорном флюорите, остальная часть связана с фторапатитом.

Фосфор. Является довольно распространенным элементом. Среднее содержание в породах  $P_2O_5$ , по данным химических определений, равно  $0,36 \%$ , что значительно превышает кларк фосфора в изверженных породах.

Фосфор в породах в основном связан с апатитом, содержание которого в породах  $0,64 \%$ , и отчасти с монацитом.

Бор. Среднее содержание  $B_2O_3$  в щелочных сиенитах по данным количественных спектральных анализов составляет  $2,0 \cdot 10^{-3} \%$ , что в 1,5 раза выше кларка в изверженных породах ( $1,3 \cdot 10^{-3} \%$  по А. П. Виноградову).

Особенностью геохимии бора является его тесная связь с кислыми гранитными магмами и полное отсутствие в щелочных нефелиновых сиенитах. Однако характерной особенностью щелочных сиенитов Мегринского района и связанных с ними пегматитов является широкое распространение турмалина. Причем следует отметить, что породы первой фазы, в отличие от гранитоидов поздних фаз, также заметно обогащены бором, что является результатом ассимиляционного обогащения [8]. Это обстоятельство также подтверждает генетическое родство щелочных пород района с монцонитами и сиенито-диоритами первой фазы.

### Некоторые генетические особенности и общие выводы

Проведенные минералого-геохимические исследования щелочных пород Мегринского plutона позволили выявить целый ряд закономерностей, проливающих свет на некоторые вопросы их генезиса.

1. Увеличение железистости и щелочности фемических минералов и образование мелких выделений самостоятельных щелочных минера-

лов (эгирин-авгита, эгирина, феррогастингита и железистого биотита), а также интенсивная альбитизация полевых шпатов и выделение альбита происходит на поздних (автометасоматических) стадиях формирования пород. Это бесспорно свидетельствует о прогрессирующем возрастании концентрации натрия в ходе формирования щелочных пород, достигающем максимума в автометасоматическую стадию.

2. Среди акцессорных минералов выделяются три парагенетических ассоциации минералов, возникновение которых связано с различными этапами формирования пород: а) для средне-мелкозернистых сиенитов характерны магнетит, титаномагнетит, ильменит, апатит—I, сфен—I, циркон—I и ортит; б) в лейкократовых пегматоидных щелочных сиенитах, кроме того, появляются: апатит-II, сфен-II, циркон-II, бадделеит, монацит, бетафит, циртолит, тортил; в) в отдельных участках лейкократовых сиенитов — молибденит, халькопирит, пирит, флюорит, эпидот, турмалин, анатаз, лейкоксен и гематит. Ранняя парагенетическая ассоциация акцессориев характеризует магматический этап формирования щелочных сиенитов и во многих чертах сходна с образованием сиено-диоритов и монцонитов.

Промежуточная ассоциация акцессориев возникает в ранней метасоматической стадии преобразования пород в связи с интенсивными процессами эгиринизации, амфиболизации, биотитизации, нефелинизации и особенно альбитизации. Поздняя парагенетическая ассоциация образуется в условиях сравнительно низких температур и имеет небольшое развитие. Наиболее интенсивно проявлены процессы апатитизации, флюоритизации и мусковитизации (либенеритизации), слабее проявлены содалитизация, канкринитизация, цеолитизация и карбонатизация.

3. Таким образом, при протекании указанных процессов и наложении поздних менее высокотемпературных автометасоматических стадий на более ранние высокотемпературные происходит изменение состава ранних минералов или их полное или частичное разрушение с образованием новых минералов и их парагенетических ассоциаций.

4. Для щелочных пород Мегринского района характерно повышенное, по сравнению с кларками в изверженных породах, содержание типичных для щелочных пород ассоциаций элементов: F, Be, Sr, Ba, Ga, Nb, Zr, TR и Th и пониженное содержание Li, Rb, Sc, Sn, Cu, Pb, Zn и Ti (табл. 9).

5. Характерной особенностью щелочных пород района является высокое содержание «летучих» компонентов: F, P и B.

6. Повышенное по сравнению с кларками в щелочных породах содержание элементов (Y, U, Mo и B), присущих для кислых гранитоидных пород, является характерной особенностью щелочных пород Мегринского plutона и указывает на генетическое родство их с гибридными гранитоидными породами первой фазы, имеющих аналогичные геохимические особенности.

7. Максимальные количества Ba, Be, Ga, Sr, Nb, Zr, TR, Y, Th и U связаны с лейкократовыми пегматоидными щелочными сиенитами, а высо-

кие содержания Ti, Li, Cu и Zn — с мезо-меланократовыми сиенитами и нефелиновыми монцонитами.

8. Малые петрогенные элементы (Li, Rb, Cs, Sr, Ba и Be) и Ga связаны в основном с нефелином, содалитом, полевыми шпатами и другими пордообразующими минералами. Главная же масса (75—90%) редких и рассеянных элементов (Nb, Zr, TR, Y и Th) сконцентрирована в акцессорных минералах (сфене, бетафите, апатите, цирконе, торите и др.), максимальные количества которых приурочены к участкам интенсивной альбитизации и флюоритизации (в основном это эндоконтакты лейко-кратовых сиенитов и метасоматические альбититы) и отчасти к экзоконтактовой зоне амфиболизаций.

9. Проведенные исследования показали, что между сиенито-диоритами и монцонитами первой фазы, с одной стороны, и щелочными породами, с другой, намечаются прямые черты геохимической преемственности. В отличие от мнений ранних исследователей (М. А. Литвин, 1947), относящих щелочные породы к наиболее поздней (четвертой) фазе plutона, мы склоняемся к мысли о генетической связи щелочных пород с монцонитами и сиенито-диоритами первой интрузивной фазы. Этого мнения придерживаются и другие исследователи района (А. И. Адамян и С. С. Мкртчян).

Это положение в некоторой степени подтверждается и результатами определения абсолютного возраста этих пород. Для биотитов из монцонитов и сиенито-диоритов (два определения) получены 30—36 млн. лет, а слюды из пегматитов щелочных пород (два определения) дали даже несколько более высокие цифры — 45 млн. лет, что соответствует по шкале Марбла верхнему эоцену — олигоцену.

Все эти особенности указывают на образование щелочных пород (фации и субфазы) в генетической связи с монцонитами и сиенито-диоритами, как результат процессов ассилияции (известняков и порфириотов) и дифференциации с образованием в различных частях гибридной «монцонитовой» магмы участков, обогащенных щелочами и летучими (эмансационная дифференциация — газовый перенос). Причем последовательное проявление указанных выше позднемагматических процессов с участием летучих и щелочей (главным образом Na — метасоматоз) приводят не только к изменению состава пордообразующих минералов (повышение железистости и щелочности) и появлению новых щелочных минералов (эгирина, феррогастингита, биотита, нефелина, альбита и др.), в том числе и редкометальных акцессорных минералов (торит, бетафит, бадделеит, монацит и др.), но и к формированию окончательного облика щелочных пород (пегматоидные сиениты). В краевых зонах как результат процессов сиенитизации пород монцонитового и сиенито-диоритового составов образуются средне-мелкозернистые сиениты.

#### ЛИТЕРАТУРА

1. Адамян А. И. Петрография щелочных пород Мегринского района АрмССР. Изд. АН АрмССР, Ереван, 1955.
2. Арапов Ю. А. и Зорабян В. С. О нефелиновых и щелочных сиенитах восточной части Мегринского района. «Изв. Арм. ФАН СССР», № 8, 1942.

3. Беус А. А. Геохимия берилля. «Геохимия», № 5, 1955.
4. Бутакова Е. Л. О роли метасоматоза в образовании щелочных пород. Мин. сб. Львов. геол. о-ва, 1959.
5. Виноградов А. П. Распределение химических элементов в земной коре. «Геохимия», № 1, 1956.
6. Власов, К. А., Кузьменко М. В. и Еськова Е. М. Ловозерский щелочной массив. Изд. АН СССР, 1959.
7. Вайнштейн Э. Е. и Тугаринов А. И. Закономерности распределения редких земель, циркония и гафния в изверженных породах. Сб. «Геохимия редких элементов в связи с проблемой петrogenезиса». Изд. АН СССР, 1956.
8. Меликsetian B. M. Аксессорные минералы в породах Мегринского plutона. «Изв. АН Арм. ССР», № 2, 1960.
9. Mkrtchyan C. S. Зангезурская рудоносная область. Изд. АН АрмССР, Ереван, 1958.
10. Соболев В. С. Значение железистости фемических минералов и вспомогательные диаграммы для определения состава биотитов, роговых обманок и ромбических пироксенов. Мин. сб. Львов. геол. о-ва, № 4, 1950.